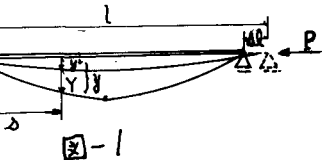


九州大学工正員 太田俊昭
九州大学工正員 今井富士夫

1. 序 はりが、衝撃に近い急速な軸圧縮力を受ける場合の弾塑性応答、なかんずく動的弾塑性不安定挙動は、直下型地震を受ける場合の構造物の柱や、吊橋主塔の予想される破壊パターンと何んらかの関わりがあるようと思われる。本研究は、このような問題を解明しうる基礎理論を確立するため、そのオーダー段階としてこれと類似の現象である初期たわみを有する単純支持ばかりが両端に急速な圧縮変形を受ける場合の不安定問題、いわゆる“offspring problem”について解析と理論照査を行ない、あわせて圧縮速度、細長比等の弾塑性応答に及ぼす効果について検討を行もうとする。

2. 解析理論 図-1に示す初期たわみを伴った単純ばかりが、圧縮軸力 P を受けた弾塑性変形を生じたとする。はりの単位長さ当たりの質量を m 、はりの初期たわみを ψ_0 、変形によるたわみを ψ とする。全たわみは $\psi = \psi_0 + \psi$ 、さらにはりを n 等分割すれば、全分割点の曲げモーメント M と軸力 N は、水平、鉛直方向の慣性力 $g_x = -m\ddot{x}$, $g_y = -m\ddot{y}$ の影響を考慮すれば、次式となる。

$$M = P\psi + \alpha_1 g_x + \beta_1 g_x$$



$$\dots \dots \dots \quad (1)$$

$$N = P\psi + \alpha_2 g_y + \beta_2 g_y$$

$$\dots \dots \dots \quad (2)$$

ただし、 $g_y = -m\ddot{y}$, $g_x = -m\ddot{x}$ で m は質量マトリックス、 $\alpha_1, \alpha_2, \beta_1, \beta_2$ は、係数マトリックスさて、曲率 θ と曲げモーメント M と軸ひずみ E と軸力は、文献(2)より

$$\theta = \eta M + \theta^p \quad (\theta^p; \text{塑性曲率 Vector})$$

$$\dots \dots \dots \quad (3)$$

$$E_c = \frac{1}{b} N + E_c^p \quad (E_c^p; \text{塑性軸ひずみ (図心点) Vector})$$

$$\dots \dots \dots \quad (4)$$

また、変形の適合条件式は、中一法公式より

$$y = Q\theta + y^i \quad (y^i; \text{初期たわみ Vector})$$

$$\dots \dots \dots \quad (5)$$

$$x = bE_c$$

$$\dots \dots \dots \quad (6)$$

式(5), (6)に式(3), (4)を代入して

$$y = Q\eta M + Q\theta^p + y^i$$

$$\dots \dots \dots \quad (7)$$

$$x = b\frac{1}{b} N + bE_c^p$$

$$\dots \dots \dots \quad (8)$$

すなはち、式(1), (2)を代入すれば、それぞれ次式を得る。

$$y = P\alpha_1\eta M + Q\alpha_1\theta^p + Q\alpha_1\beta_1 g_x + Q\alpha_1\beta_1 g_x + y^i$$

$$x = P\alpha_2\eta M + b\alpha_2\theta^p + b\alpha_2\beta_2 g_y + b\alpha_2\beta_2 g_y + bE_c^p$$

上の2式を整理して

$$y = J_1^{-1}(-Q\alpha_1\beta_1 m\ddot{y} - Q\alpha_1\beta_1 m\ddot{x} + Q\theta^p + y^i) \quad (\text{ここで } J_1 = I - P\alpha_1\eta) \dots \dots \quad (9)$$

$$x = -b\alpha_2\beta_2 m\ddot{y} - b\alpha_2\beta_2 m\ddot{x} + bE_c^p + P\alpha_2\eta M \dots \dots \dots \quad (10)$$

ここで、変形成分 y , x を一括して V で表わせば、式(9), (10)は、

$$V = -S\dot{\theta} + LL \quad \dots \dots \dots \quad (11)$$

$$\text{ただし、 } S = \begin{pmatrix} J_1^{-1}(Q\alpha_1\beta_1 m) & J_1^{-1}(Q\alpha_1\beta_1 m) \\ b\alpha_2\beta_2 m & b\alpha_2\beta_2 m \end{pmatrix}, \quad LL = \begin{pmatrix} J_1^{-1}(Q\theta^p + y^i) \\ bE_c^p + P\alpha_2\eta M \end{pmatrix}$$

上式を線型加速度法などを用いて、時間積分を行なえば、非線形応答解析が可能となる。

ここでは、先ずその第1段階として、独立変数を角のみを考え、軸方向慣性力-端応力の効果を無視した場合について考察することにする。

初期たわみを、 $y^i = A\sqrt{I/A} \cdot \sin \frac{\pi s}{l}$ (I : 断面2次モーメント, A : 断面積, l : スパン長) で想定すれば、外力 P は、一定速度 V の変形が自由端に加えられるときの圧縮力で与えられるので、次のようになる。

すなはち、軸圧縮量 Δl は、

$$\begin{aligned}\Delta l &= -Vt + \int \left\{ \sqrt{1 + \left(\frac{dy^i}{ds} \right)^2} - \left(\frac{dy^i}{ds} \right)^2 - 1 \right\} ds \\ &\quad + -Vt + \frac{1}{2} \int \left\{ \left(\frac{dy^i}{ds} \right)^2 - \left(\frac{dy^i}{ds} \right)^2 \right\} ds \quad \dots \dots \dots \dots \dots \dots \dots \end{aligned}\quad (12)$$

一方、変形の適合条件より

$$\Delta l = \int E_c \cos \theta ds = \int (S \cos \theta N + E_p \cos \theta) ds = \int (-S \cos^2 \theta P + E_p \cos \theta) ds \quad (\because N = -P \cos \theta) \dots \dots \dots \dots \dots \dots \dots \quad (13)$$

式(12), (13)より

$$\begin{aligned}-P \int S \cos^2 \theta ds + \int E_p \cos \theta ds &= -Vt + \frac{1}{2} \int \left\{ \left(\frac{dy^i}{ds} \right)^2 - \left(\frac{dy^i}{ds} \right)^2 \right\} ds \\ \therefore P &= \frac{Vt}{\int S \cos^2 \theta ds} - \frac{1}{2 \int P \cos^2 \theta ds} \int \left\{ \left(\frac{dy^i}{ds} \right)^2 - \left(\frac{dy^i}{ds} \right)^2 \right\} ds + \frac{\int E_p \cos \theta ds}{\int P \cos^2 \theta ds} \quad (\text{ただし } l \cdot \tan \theta = dy^i/ds) \dots \dots \dots \dots \dots \dots \dots \quad (14)\end{aligned}$$

この場合、はり、および断面を適当に分割して数値積分による計算を行なう必要がある。そこで、分割数の計算精度におけるばらつき効果を検討するため、Hoffの弾性理論解と照査してみた。

はりの分割数を10等分した場合の本計算とHoffの解を比較したが、およそ P の応答図が、図-2、および図-3である。

図中のA法は、本法、B法は、Hoffの理論によるものである。両者は、かなりよく合致しており、はりの分割数は、10等分で十分であると思われる。ことに、図中 D は、文献(1)で用いられている Dynamic similarity であり、次式で定義されている。

$$D = \frac{1}{\pi^2} \cdot \left(\frac{l}{r} \right)^2 \cdot \frac{V}{\sqrt{E/\rho}} \quad (15)$$

ここに、 $m = \rho A$, $r = \sqrt{I/A}$ である。

なお、弾塑性応答の場合については、講演時に報告する予定である。

〈参考文献〉

(1) N.J.Hoff; The Dynamics of the Buckling of Elastic Columns, Journal of applied Mechanics, March, 1951

(2) T.Ohta and T.Yamazaki; Elasto-Plastic Analysis of Steel Structure Considering the Effect of Residual Stress and Finite Deformation, Proc. of JSCE, No. 194, 1971

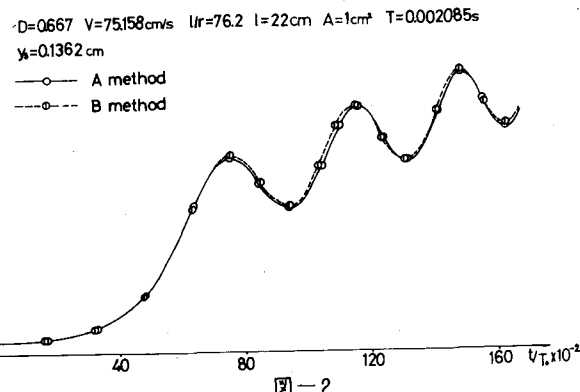


図-2

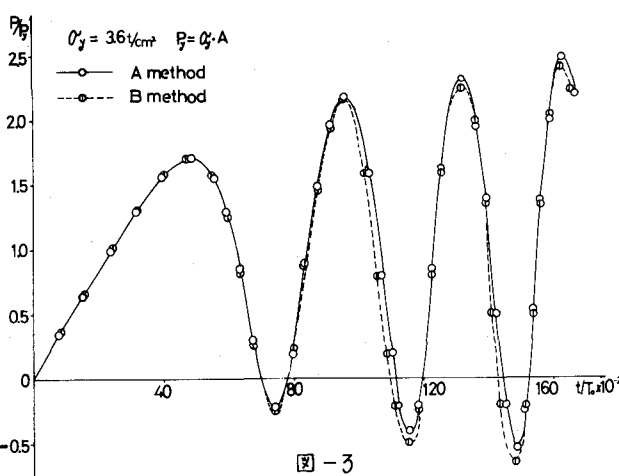


図-3